



FAG

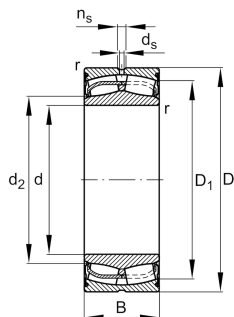
24026-BE-XL-2VSR-H40-C3

Радиальный сферический роликоподшипник

Радиальный сферический роликоподшипник 240...-BE-XL-2VSR-H40, симметричный, с плавающим бортом

X-life

Техническая информация



Ваш текущий вариант продукта

Design	BE	With lose center lip ring
Исполнение отверстия	Z	Цилиндрическое
Cage	JPB	Стальной сепаратор, штампованный
Радиальный зазор	C3 (Group 3)	Internal clearance larger than CN
Relubrication	H40	без смазочных отверстий и смазочной канавки
Уплотнение	2VSR	Уплотнения с двух сторон, высокая температура

Основные размеры и рабочие характеристики

d	130 mm	Диаметр отверстия
D	200 mm	Наружный диаметр
B	69 mm	Ширина
C_r	570.000 N	Динамическая грузоподъемность, радиальная
C_{0r}	860.000 N	Статическая грузоподъемность, радиальная
C_{ur}	103.000 N	Предел усталостной нагрузки, радиальный
n_G	780 1/min	Предельная частота вращения
$\approx m$	7,83 kg	Вес



Присоединительные размеры

$d_{a \min}$	138,8 mm	Мин. диаметр заплечика вала
$D_{a \max}$	191,2 mm	Макс. диаметр заплечика корпуса
$r_{a \max}$	2 mm	Макс. радиус галтели

Габаритные размеры

r_{\min}	2 mm	Мин. размер монтажной фаски
D_1	187,2 mm	Диаметр отверстия наружного кольца
d_2	142,1 mm	Диаметр дорожки качения внутреннего кольца

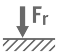

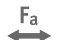



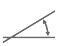

Диапазон температур

T_{\min}	-30 °C	Мин. рабочая температура
T_{\max}	180 °C	Макс. рабочая температура

Коэффициенты для расчета

e	0,31	Предельное значение F_a/F_r для применимости различн. значений коэффициентов X и Y
Y_1	2,21	Динамический коэффициент осевой нагрузки
Y_2	3,29	Динамический коэффициент осевой нагрузки
Y_0	2,16	Статический коэффициент осевой нагрузки

Характеристики

	Радиальная нагрузка
	Осевая нагрузка в одном направлении
	Осевая нагрузка в обоих направлениях
	Смазка на весь срок службы, не требуют обслуживания
	Смазывание пластичной смазкой
	Уплотнения с обеих сторон
	Статические угловые и линейные несоосности
	Динамические угловые и линейные несоосности